

УДК 539.3

## О СМЕШАННЫХ ЗАДАЧАХ ДЛЯ МНОГОСЛОЙНЫХ АНИЗОТРОПНЫХ КОМПОЗИТОВ

© 2006 г. Академик В.А. Бабешко<sup>1</sup>, С.В. Ратнер<sup>1</sup>, П.В. Сыромятников<sup>1</sup>

Описывается численно-аналитический метод построения символа Фурье матрицы Грина для пакета термоэлектроупругих слоев с плоскопараллельными границами раздела при наличии плоских трещин и/или жестких включений на границах раздела. Каждый слой может обладать произвольной термоэлектроупругой анизотропией и пироэлектрическими свойствами. Приводится описание экономичного приближенного численного метода вычисления, типичного для данных задач интеграла – двукратного обратного преобразования Фурье – интегрального представления решения краевой задачи при заданных механических, электрических и тепловых нагрузках на поверхности слоя и/или границах неоднородностей.

Известно, что решение многих прикладных задач тесно связано с возможностью удачного построения и исследования функции Грина [1, 2]. Различные двумерные (2D) и трехмерные (3D) функции Грина для изотропных тел и 2D-функции Грина для анизотропных тел достаточно хорошо изучены, однако 3D-функции Грина для анизотропных тел исследованы недостаточно [3]. В последние годы в этой области были получены некоторые результаты для статических и квазистатических задач, в основу которых было положено использование обобщенного формализма Строха–Лехницкого [4, 5], первоначально предложенного в классической работе по анизотропии Барнетта и Лоте [6]. В ряде случаев функции Грина получаются в образах Фурье, тогда основной трудностью является проведение аналитического обратного преобразования Фурье для получения решения в физической области определения. И хотя построение функции Грина – достаточно разработанный вопрос, тем не менее исследование ее встречает определенные сложности. Некоторые примеры функции Грина для статической задачи на 3D анизотропном упругом пространстве функции Грина были выведены в работах [7, 8]. В работе [4] была построена функция Грина для анизотропного полупространства в виде линейного интеграла на конечном интервале, в [5] выведены функции Грина для биматериала, а в более поздних исследованиях [9] выведены 3D-функции Грина для анизотропного триматериала.

В работе [10] решена краевая задача для анизотропного упругостатичного многослойного композита при условии свободной от напряжений поверхности и контакта без трения на интерфейсных границах. Для решения краевой задачи используется подход, предложенный в работах [4, 5], строятся функции Грина для перемещений, напряжений и их производных в образах Фурье и предлагается новый подход к численному определению обратного преобразования Фурье на основе использования специального решения для триматериала.

Несмотря на значительный прогресс в исследовании статических краевых задач для анизотропных многослойных сред, динамические задачи до сих пор изучены слабо.

В настоящей работе рассматривается динамическая задача для термоэлектроупругих анизотропных слоев с плоскопараллельными границами раздела, содержащими трещины или жесткие включения, которая имеет как самостоятельный интерес, так и вспомогательный – для дифференциального метода факторизации в произвольных областях. Полученные в работе результаты демонстрируют способы реализации дифференциального метода факторизации, основанные на численных расчетах функций, представленных двумерными интегралами Фурье.

Пусть среда представляет собой однородные слои  $\{-\infty \leq x_1, x_2 \leq \infty, z_{n+1} \leq z \leq z_n, z_1 = 0, z_{N+1} > \infty, z = x_3, n = 1, 2, \dots, N\}$ , где каждый имеет материальные константы  $C_{ijk}^{(n)}, e_{ijk}^{(n)}, \epsilon_{ij}^{(n)}, \chi_{jk}^{(n)}, v_{jk}^{(n)}, p_j^{(n)}, \rho^{(n)}$ .

Гармонические колебания возбуждаются механическими, тепловыми, электрическими нагрузз-

<sup>1</sup> Южный научный центр Российской академии наук, Ростов-на-Дону.

ками и описываются следующими уравнениями (общий множитель  $\exp(-i\omega t)$  всюду опущен):

$$\begin{aligned} \frac{\partial \sigma_{nj}}{\partial x_j} + \rho \omega^2 u_n = 0, \quad \frac{\partial D_j}{\partial x_j} = 0, \\ \frac{\partial g_j}{\partial x_j} - i\omega T_0 \left( \chi_{nm} \frac{\partial u_n}{\partial x_m} - p_n \frac{\partial \varphi}{\partial x_n} + \mu \theta \right) = 0. \end{aligned} \quad (1)$$

Здесь

$$\begin{aligned} \sigma_{ji} &= C_{ji}^{kn} \frac{\partial u_n}{\partial x_k} - e_{kji} E_k - \chi_{ji} \theta, \\ D_j &= e_{jkn} \frac{\partial u_n}{\partial x_k} + \epsilon_{jk} E_k + p_j \theta, \\ E_i &= -\frac{\partial \varphi}{\partial x_i}, \quad g_i = -v_{ij} \frac{\partial \theta}{\partial x_j}, \quad i, j, k, n = 1, 2, 3, \end{aligned} \quad (2)$$

$C_{ik}^{nm}$  – тензор упругих постоянных,  $e_{jkn}$  – тензор пьезоэлектрических постоянных,  $\chi_{jk}$  – тензор температурных коэффициентов механических напряжений,  $\epsilon_{jk}$  – тензор диэлектрических проницаемостей,  $\sigma_{ij}$  – тензор напряжений,  $D_j$  – вектор электрической индукции,  $E_i$  – вектор напряженности электрического поля,  $\varphi$  – электрический потенциал,  $v_{nm}$  – тензор коэффициентов теплопроводности,  $p_j$  – тензор пироэлектрических коэффициентов,  $g_j$  – вектор теплового потока,  $u_k$  – вектор механических смещений,  $\theta = T - T_0$  – относительная температура,  $T$  – абсолютная температура,  $T_0$  – начальная температура,  $\mu = \frac{\rho C_e}{T_0}$ ,  $C_e$  – удельная теплоемкость,  $\rho$  – плотность,  $\omega$  – круговая частота.

Электрический потенциал вне слоя не учитывается, поскольку диэлектрическая проницаемость вакуума считается значительно меньше проницаемости в слое.

Не останавливаясь на деталях, представим символ Фурье матрицы Грина  $K$  в форме

$$\begin{aligned} K_{mn}(\alpha_1, \alpha_2) &= F_{x_1 x_2}[k_{mn}] = \int_{-\infty}^{\infty} \int_{-\infty}^{\infty} k_{mn}(x_1, x_2) \times \\ &\times \exp(i(\alpha_1 x_1 + \alpha_2 x_2)) dx_1 dx_2, \end{aligned} \quad (3)$$

$$K = \|K_{mn}\|.$$

Здесь  $k_{mn}$  имеет следующее интегральное представление:

$$\begin{aligned} k_{mn}(x_1, x_2) &= \frac{1}{4\pi^2} \int_{\Gamma_1} \int_{\Gamma_2} K_{mn}(\alpha_1, \alpha_2) \times \\ &\times \exp(-i(\alpha_1 x_1 + \alpha_2 x_2)) d\alpha_1 d\alpha_2, \end{aligned} \quad (4)$$

$\Gamma_1, \Gamma_2$  – контуры интегрирования, частично отклоняющиеся от вещественных осей при обходе особенностей  $K_{mn}$  в соответствии с принципом предельного поглощения [11].

Описываемый далее метод является обобщением подхода работы [12] на случай пакета термоэлектроупругих слоев с неоднородностями, в которой используется двукратное преобразование Фурье к уравнениям (1), (2). Выполнив преобразования, получаем систему обыкновенных дифференциальных уравнений второго порядка относительно вектора  $\hat{\mathbf{U}} = F_{x_1 x_2}[\mathbf{u}] = \{U_1, U_2, U_3, U_4, U_5\}$  – символа вектора перемещений  $\{U_1, U_2, U_3\}$ , электрического потенциала  $\Phi = U_4$  и температуры  $\Theta = U_5$ :

$$\mathbf{A} \hat{\mathbf{U}} + \mathbf{A}^{(1)} \hat{\mathbf{U}}' + \mathbf{A}^{(2)} \hat{\mathbf{U}}'' = 0. \quad (5)$$

Здесь штрихами обозначены производные по  $x_3$ . Матрицы  $\mathbf{A}, \mathbf{A}^{(1)}, \mathbf{A}^{(2)}$  имеют вид

$$\begin{aligned} A_{js} &= -C_{rj}^{ns} \alpha_r \alpha_n + \delta_{js} \rho \omega^2, \\ A_{p4} &= A_{4p} = -e_{rpn} \alpha_n \alpha_r, \\ A_{44} &= \epsilon_{nr} \alpha_n \alpha_r, \quad A_{j5} = i \chi_{jn} \alpha_n, \quad A_{45} = -ip_n \alpha_n, \\ A_{5j} &= i\omega T_0 \chi_{jn} \alpha_n, \quad A_{54} = -\omega T_0 p_n \alpha_n, \\ A_{55} &= i\omega \rho C_e - v_{rn} \alpha_r \alpha_n, \quad A_{jk}^{(1)} = -i \alpha_n (C_{3j}^{kn} + C_{nj}^{k3}), \\ A_{m4}^{(1)} &= A_{4m}^{(1)} = -i \alpha_n (e_{3mn} + e_{nm3}), \quad A_{44}^{(1)} = i 2 \alpha_n \epsilon_{3n}, \\ A_{j5}^{(1)} &= -\chi_{j3}, \quad A_{5j}^{(1)} = i \omega T_0 \chi_{j3}, \\ A_{45}^{(1)} &= p_3, \quad A_{54}^{(1)} = -i \omega T_0 p_3, \quad A_{55}^{(1)} = -i \alpha_n (v_{n3} + v_{3n}), \\ A_{jk}^{(2)} &= C_{3j}^{3k}, \quad A_{m4}^{(2)} = A_{4m}^{(2)} = e_{3m3}, \\ A_{44}^{(2)} &= -\epsilon_{33}, \quad A_{j5}^{(2)} = A_{5j}^{(2)} = A_{45}^{(2)} = A_{54}^{(2)} = 0, \\ A_{55}^{(2)} &= v_{33}, \quad (r, n = 1, 2; \quad j, k, s, m = 1, 2, 3) \end{aligned}$$

$\delta_{js}$  – символ Кронекера,  $\alpha_1, \alpha_2$  – параметры преобразования Фурье.

Умножая выражение (5) слева на  $(\mathbf{A}^{(2)})^{-1}$ , можно получить систему первого порядка относительно вектора  $\mathbf{U} = \{U_1, \dots, U_5, U'_1, \dots, U'_5\}$

$$\begin{aligned} \frac{d\mathbf{U}}{dx_3} &= \mathbf{L} \mathbf{U} = \\ &= \begin{pmatrix} \mathbf{0} & \vdots & \mathbf{I} \\ \dots & \dots & \dots \\ -(\mathbf{A}^{(2)})^{-1} \mathbf{A} & \vdots & -(\mathbf{A}^{(2)})^{-1} \mathbf{A}^{(1)} \end{pmatrix} \mathbf{U}, \end{aligned} \quad (6)$$

где  $\mathbf{I}$ ,  $\mathbf{0}$  – единичная и нулевая матрицы соответственно. Решение системы (6) приводит к проблеме на собственные значения вида

$$(\mathbf{L} - \lambda \mathbf{I})\mathbf{h} = 0. \quad (7)$$

В каждом слое искомый вектор  $\mathbf{U}^{(n)}$  можно представить следующим образом:  $\mathbf{U}^{(n)} = \sum_{s=1}^{10} \mathbf{t}_s^{(n)} \mathbf{h}_s^{(n)} \exp(\lambda_s^{(n)} z)$ , где  $\lambda^{(n)}$ ,  $\mathbf{h}^{(n)}$  – собственные значения и собственные векторы системы (7) для  $n$ -го слоя,  $\mathbf{t}^{(n)}$  – векторы, подлежащие определению. Разрывные условия на границах раздела слоев имеют вид

$$\begin{pmatrix} \mathbf{R}^{(n)} \mathbf{U}^{(n)}(z_{n+1}) - \mathbf{R}^{(n+1)} \mathbf{U}^{(n+1)}(z_{n+1}) \\ \tilde{\mathbf{U}}^{(n)}(z_{n+1}) - \tilde{\mathbf{U}}^{(n+1)}(z_{n+1}) \end{pmatrix} = \tilde{\mathbf{f}}^{(n+1)}, \quad (n = 1, 2, \dots, N-1), \quad (8)$$

где  $\mathbf{R}^{(n)}$ :

$$\begin{aligned} R_{jk} &= -i\alpha_n C_{j3}^{kn}, \quad R_{j,k+5} = C_{j3}^{k3}, \quad R_{j4} = -i\alpha_n e_{nj3}, \\ R_{j9} &= e_{3j3}, \quad R_{4j} = -i\alpha_n e_{3nj}, \quad R_{44} = i\varepsilon_{3n}\alpha_n, \\ R_{4,k+5} &= e_{33k}, \quad R_{j5} = -\chi_{3j}, \quad R_{45} = p_3, \\ R_{55} &= i\alpha_n v_{3n}, \quad R_{l,10} = R_{5m} = 0, \quad R_{5,10} = -v_{33}, \\ R_{49} &= -\varepsilon_{33}, \quad j, k = 1, 2, 3; \quad n = 1, 2; \\ l &= 1, 2, 3, 4; \quad m = 1, 2, \dots, 9. \end{aligned}$$

В формуле (8) и далее через  $\hat{\mathbf{U}}, \check{\mathbf{U}}$  обозначены верхняя и соответственно нижняя половина вектора (матрицы)  $\mathbf{U}$ ;  $\tilde{\mathbf{f}}^{(n)} = \{0; \mathbf{f}^{(n)}\} = \{0; 0; 0; 0; f_1^{(n)}; \dots; f_5^{(n)}\}$  в случае трещины либо  $\tilde{\mathbf{f}}^{(n)} = \{\mathbf{f}^{(n)}, 0\}$  в случае включения на границе  $z = z_n$ ,  $\mathbf{f}^{(n)}$  – векторы разрывов. Относительно неизвестных  $\mathbf{t}^{(n)} = \{t_1^{(n)}; \dots; t_{10}^{(n)}\}$  равенства (8) приводят к линейным алгебраическим уравнениям с блочно-диагональной структурой

$$\mathbf{C}^{(n)}(z_{n+1})\mathbf{t}^{(n)} - \mathbf{C}^{(n+1)}(z_{n+1})\mathbf{t}^{(n+1)} = \tilde{\mathbf{f}}^{(n+1)}, \quad n = 1, 2, \dots, N-1, \quad (9)$$

где

$$\mathbf{C}^{(n)}(z) = \hat{\mathbf{R}}^{(n)} \mathbf{H}^{(n)} \mathbf{E}^{(n)}(z) = \mathbf{C}^{(n)}(0) \mathbf{E}^{(n)}(z),$$

$$\mathbf{C}^{(n)}(0) = \hat{\mathbf{R}}^{(n)} \mathbf{H}^{(n)}, \quad \hat{\mathbf{R}}^{(n)} = \begin{pmatrix} \mathbf{R}^{(n)} & \\ \mathbf{I} & 0 \end{pmatrix},$$

$$\hat{E}_{ii}^{(n)} = \exp(\lambda_i^{(n)} z),$$

$$\mathbf{H}^{(n)} = \{h_1^{(n)}, h_2^{(n)}, \dots, h_{10}^{(n)}\}.$$

На высотах  $z_1 = 0$ ,  $z = z_{N+1}$ , относительно  $\mathbf{t}^{(1)}$ ,  $\mathbf{t}^{(N)}$ , имеем уравнения

$$\check{\mathbf{C}}^{(1)}(z_1)\mathbf{t}^{(1)} = \mathbf{f}^{(1)}, \quad \check{\mathbf{C}}^{(N)}(z_{N+1})\mathbf{t}^{(N)} = 0. \quad (10)$$

Последнее уравнение (10) соответствует рассматриваемому далее случаю, когда в основании  $u_j = \phi = \theta = 0$ . Соотношения (9), (10) легко позволяют получить решение  $\mathbf{t}$  непосредственным обращением матрицы системы или в рекуррентном виде, однако в вычислительном отношении оно малоэффективно при больших  $\alpha_i$ ,  $\omega$  из-за растущих экспонент в матрицах  $\check{\mathbf{C}}^{(i)}(z_j)$ . Последнее удается устранить подходящей заменой переменных.

Введем новые неизвестные  $\tilde{\mathbf{t}}^{(n)} = \mathbf{G}^{-1}(z_{n+1})\mathbf{t}^{(n)}$ , где  $\mathbf{G}(z_{n+1})$ :  $g_{ii} = \exp((\lambda_1^{(n)} - \lambda_i^{(n)})z_{n+1})$ ,  $\lambda_i^{(n)}$  – собственное число системы (7) для слоя  $n$  с наибольшей действительной частью. Данная замена позволяет вынести растущие экспоненты из матриц  $\mathbf{C}^{(n)}$  и в целом за рамки вычислений.

Кратко опишем алгоритм вычисления  $\mathbf{K}^{(n,j)}$ . Матрица  $\mathbf{K}^{(n,j)}$  соответствует слою с номером  $n$  и нагрузке  $\mathbf{f}^{(j)}$ :  $\mathbf{K}^{(n,1)}$  является матрицей Грина многослойной среды без неоднородностей,  $\mathbf{K}^{(n,j)}$ ,  $j = 2, 3, \dots, N$  описывает вклад вектора разрывов  $\mathbf{f}^{(j)}$  для среды с неоднородностями.

1.  $\mathbf{J}^{(n)} = \mathbf{C}^{(n)}(0))^{-1} \mathbf{C}^{(n+1)}(0) \mathbf{E}^{(n+1)}, \quad E_{ii}^{(n+1)} = \exp((\lambda_1^{(n+1)} - \lambda_i^{(n+1)})(z_{n+2} - z_{n+1})), \quad n = 1, 2, \dots, N-1, N \geq 2;$
2.  $\mathbf{V}^{(j)} = a_{j-1} \mathbf{J}^{(1)} \mathbf{J}^{(2)} \dots \mathbf{J}^{(j-2)} (\mathbf{C}^{(j-1)}(0))^{-1}, \quad a_{j-1} = \exp\left(\sum_{j=2}^{j-1} -\lambda_1^{(j-1)} z_j\right), \quad j \geq 3, \quad \mathbf{V}^{(2)} = \exp(-\lambda_1^{(1)} z_2) (\mathbf{C}^{(1)}(0))^{-1}, \quad \sum_n = \sum_{k=1}^n (\lambda_1^{(k+1)} - \lambda_1^{(k)}) z_{k+1}, \quad \sum_0 = 0;$
3.  $\mathbf{J} = \mathbf{J}^{(1)} \mathbf{J}^{(2)} \dots \mathbf{J}^{(N-1)}, \quad \mathbf{M} = \begin{pmatrix} \check{\mathbf{C}}^{(1)}(z_1) \mathbf{G}(z_2) \mathbf{J} \\ \check{\mathbf{C}}^{(N)}(z_{N+1}) \mathbf{G}(z_{N+1}) \end{pmatrix}^{-1};$
4.  $\mathbf{Q}^{(1)} = \begin{pmatrix} \mathbf{I} \\ \mathbf{0} \end{pmatrix}, \quad \mathbf{Q}^{(j)} = \begin{pmatrix} -\check{\mathbf{C}}^{(1)}(z_1) \mathbf{G}(z_2) \mathbf{V}^{(j)} \mathbf{B}^{(j)} \\ \mathbf{0} \end{pmatrix}, \quad j \geq 2;$
5.  $\mathbf{K}^{(n,j)}(z) = \check{\mathbf{K}}^{(n,j)}(z) + \tilde{\mathbf{K}}^{(n,j)}(z), \quad \check{\mathbf{K}}^{(n,j)} = \hat{\mathbf{H}}^{(n)} \mathbf{Y}^{(n)}(z) \mathbf{J}^{(n)} \mathbf{J}^{(n+1)} \dots \mathbf{J}^{(N-1)} \mathbf{M} \mathbf{Q}^{(j)}, \quad z_{n+1} \leq z \leq z_n;$   
 $\tilde{\mathbf{K}}^{(n,j)} = \hat{\mathbf{H}}^{(n)} \check{\mathbf{Y}}^{(n,j)}(z) \mathbf{J}^{(n)} \mathbf{J}^{(n+1)} \dots \mathbf{J}^{(j-2)} (\mathbf{C}^{(j-1)}(0))^{-1} \mathbf{B}^{(j)}, \quad n \leq j-2; \quad \tilde{\mathbf{K}}^{(n,j)} =$

$$= \hat{\mathbf{H}}^{(n)} \tilde{\mathbf{Y}}^{(n,j)}(z) (\mathbf{C}^{(j-1)}(0))^{-1} \mathbf{B}^{(j)}, (n=j-1); \quad \tilde{\mathbf{K}}^{(n,j)} \equiv 0, \\ n \geq j;$$

$$Y_i^{(n)} = \exp \left( \lambda_i^{(n)} z + (\lambda_1^{(n)} - \lambda_i^{(n)}) z_{n+1} - \sum n - 1 \right), \\ \tilde{Y}_i^{(n,j)} = \exp \left( \lambda_i^{(n)} z + (\lambda_1^{(n)} - \lambda_i^{(n)}) z_{n+1} - \lambda_1^{(j-1)} z_j + \sum j - 2 \right).$$

Матрица  $\mathbf{B}^{(j)}$  имеет вид  $\mathbf{B}^{(j)} = \begin{pmatrix} \mathbf{0} \\ \mathbf{I} \end{pmatrix}$  в случае трещины на высоте  $z = z_j$ , либо  $\mathbf{B}^{(j)} = \begin{pmatrix} \mathbf{I} \\ \mathbf{0} \end{pmatrix}$  в случае включения. Векторы  $\mathbf{U}^{(n)}$ ,  $\mathbf{f}^{(j)}$  связаны соотношением

$$\mathbf{U}^{(n)}(z) = \sum_{j=1}^N \mathbf{K}^{(n,j)}(z) \mathbf{f}^{(j)}. \quad (11)$$

Зная матрицу Грина, можно ставить и решать смешанные задачи для указанной краевой задачи в различных постановках [11, 13]. В процессе решения этих задач неизбежно возникает необходимость вычисления типичных двумерных интегралов Фурье. Хотя и существует достаточно большой набор методов и программ вычисления подобных интегралов, тем не менее представляет интерес разработка и более простых методов, учитывающих специфику подынтегральных функций. Ниже предлагается удобный для указанных задач приближенный метод вычисления обратного преобразования Фурье  $\mathbf{u} = F_{\alpha_1, \alpha_2}^{-1} [\hat{\mathbf{U}}]$  при заданном векторе  $\mathbf{f}$ . Применим указанное преобразование к формуле (11) и в интегральном представлении  $\mathbf{u}$ , аналогичном представлению (4), перейдем к цилиндрическим координатам

$$x_1 = r \cos \beta, \quad x_2 = r \sin \beta, \quad x_3 = z,$$

$$r = \sqrt{x_1^2 + x_2^2}, \quad \beta = \operatorname{arctg} \frac{x_2}{x_1},$$

$$\alpha_1 = \alpha \cos \gamma, \quad \alpha_2 = \alpha \sin \gamma,$$

$$\gamma = \operatorname{arctg} \frac{\alpha_2}{\alpha_1}, \quad \alpha = \sqrt{\alpha_1^2 + \alpha_2^2}.$$

Тогда, обозначая через  $\tau = \gamma - \beta - \frac{\pi}{2}$ , получаем

$$\mathbf{u}(r, \beta, z) = \frac{1}{4\pi^2} \int_0^{2\pi} \int_{\Gamma} \mathbf{K}(\alpha, \gamma, z) \mathbf{f}(\alpha, \gamma) \times \\ \times \exp(i\alpha r \sin \tau) \alpha d\alpha d\tau. \quad (12)$$

Большое количество требуемых операций при вычислении матрицы  $\mathbf{K}$ , сильная осцилляция

и особенности подынтегрального выражения существенно затрудняют прямой счет интеграла (12). С помощью подхода, описанного ниже, можно оценить вклад вещественных полюсов и ближайших к вещественной оси комплексных полюсов в интеграл (12) при незначительных вычислительных затратах. Разобьем интеграл (12) на сумму двух:

$$\mathbf{u} = \frac{1}{4\pi^2} \left( \int_0^{\pi} \int_{\Gamma} \mathbf{K} \exp(i\alpha r \sin \tau) \alpha d\alpha d\tau + \right. \\ \left. + \int_{\pi}^{2\pi} \int_{\Gamma} \mathbf{K} \exp(i\alpha r \sin \tau) \alpha d\alpha d\tau \right). \quad (13)$$

Сразу же отметим, что применение известной процедуры разворота контура [13] в случае анизотропии общего вида связано с определенными трудностями и здесь не используется.

Для вычисления интегралов по  $\Gamma$  можно применить лемму Жордана. В первом интеграле (13)  $\sin \tau \geq 0$  и контур  $\Gamma$  можно деформировать и замкнуть в первом квадранте, во втором интеграле  $\sin \tau \leq 0$  и  $\Gamma$  замыкается в четвертом квадранте аналогичным образом. Замкнутые контуры содержат интегралы по мнимой оси  $\Gamma_I^+ \leftrightarrow \Gamma_I^- \leftrightarrow [iR, 0]$ ,  $\Gamma_I^- \leftrightarrow [0, -iR]$ , по дугам четверть-окружностей  $R^+$  в первом и  $R^-$  в четвертом квадрантах, по действительной оси  $\Gamma_R \leftrightarrow [0, R]$  при  $R \rightarrow \infty$

$$\mathbf{u}(r, \beta, z) = \frac{1}{4\pi^2} \int_0^{\pi} \int_{\Gamma_R + R^+ + \Gamma_I^+} \mathbf{U}(r, \beta, \alpha, \tau, z) d\alpha d\tau + \\ + \frac{1}{4\pi^2} \int_{\pi}^{2\pi} \int_{\Gamma_R + R^- + \Gamma_I^-} \mathbf{U}(r, \beta, \alpha, \tau, z) d\alpha d\tau. \quad (14)$$

По лемме интегралы по  $R^+$ ,  $R^-$  при  $R \rightarrow \infty$  стремятся к нулю. Таким образом, из (13), (14) получаем

$$\mathbf{u} = \mathbf{u}^+ + \mathbf{u}^- - \mathbf{u}_I^+ - \mathbf{u}_I^-, \quad (15)$$

где

$$\mathbf{u}^{\pm} = \frac{\pm i}{2\pi} \sum_k \int_{\sigma^{\pm}}^{\psi^{\pm}} \mathbf{b}^{(k)}(\gamma, z) \exp(i\zeta^{(k)}(\gamma) r \sin \tau) d\tau$$

$$\sigma^+ = 0, \quad \sigma^- = \pi, \quad \psi^+ = \pi, \quad \psi^- = 2\pi,$$

$$\mathbf{u}_I^{\pm} = \frac{\mp 1}{4\pi^2} \int_{\sigma^{\pm}}^{\psi^{\pm}} \int_{\Gamma_I^{\pm}} \mathbf{K}(\alpha, \gamma, z) \mathbf{f}(\alpha, \gamma) \alpha \times$$

$$\times \exp(-|\alpha r \sin \tau|) d\alpha d\tau,$$

$$b_j^{(n)}(\gamma, z) = \operatorname{res} K_{jm}(\alpha, \gamma, z) f_m(\alpha, \gamma) \alpha|_{\alpha=\xi^{(n)}(\gamma)},$$

$$(j, m = 1, 2, 3, 4, 5).$$

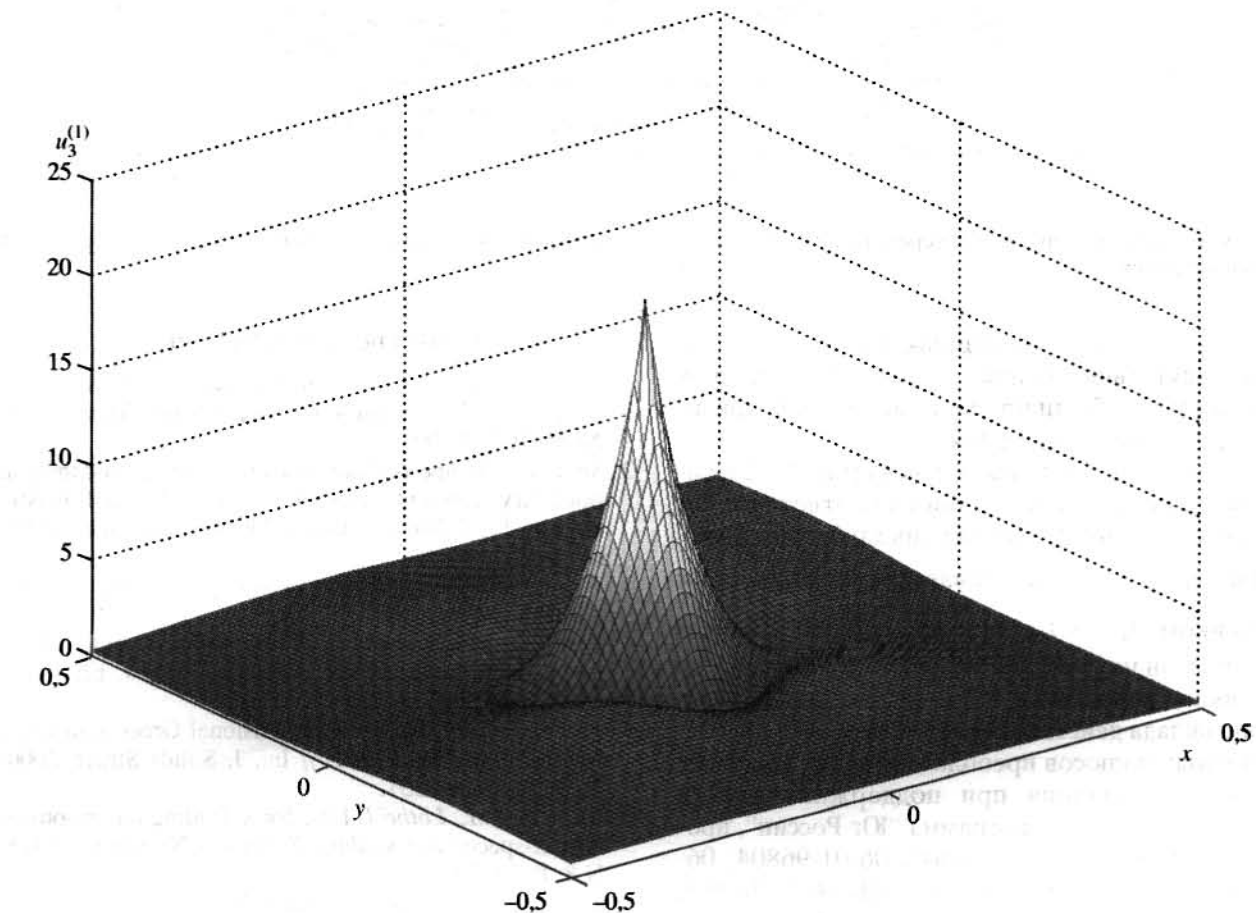
Вычислительная сходимость интегралов по  $\Gamma_I^\pm$  быстрее, чем интегралов по  $\Gamma_R$ . Кроме того, во всех численных экспериментах выполнялось соотношение  $|u_I^\pm| \ll |u^\pm|$ .

В проведенных модельных расчетах оценивался вклад  $u^\pm$  в  $u$  (15) (без учета  $u_I^\pm$ ) для пакета из трех различных термоэлектроупругих слоев при заданном  $f^{(2)}$ , соответствующем случаю трещины.

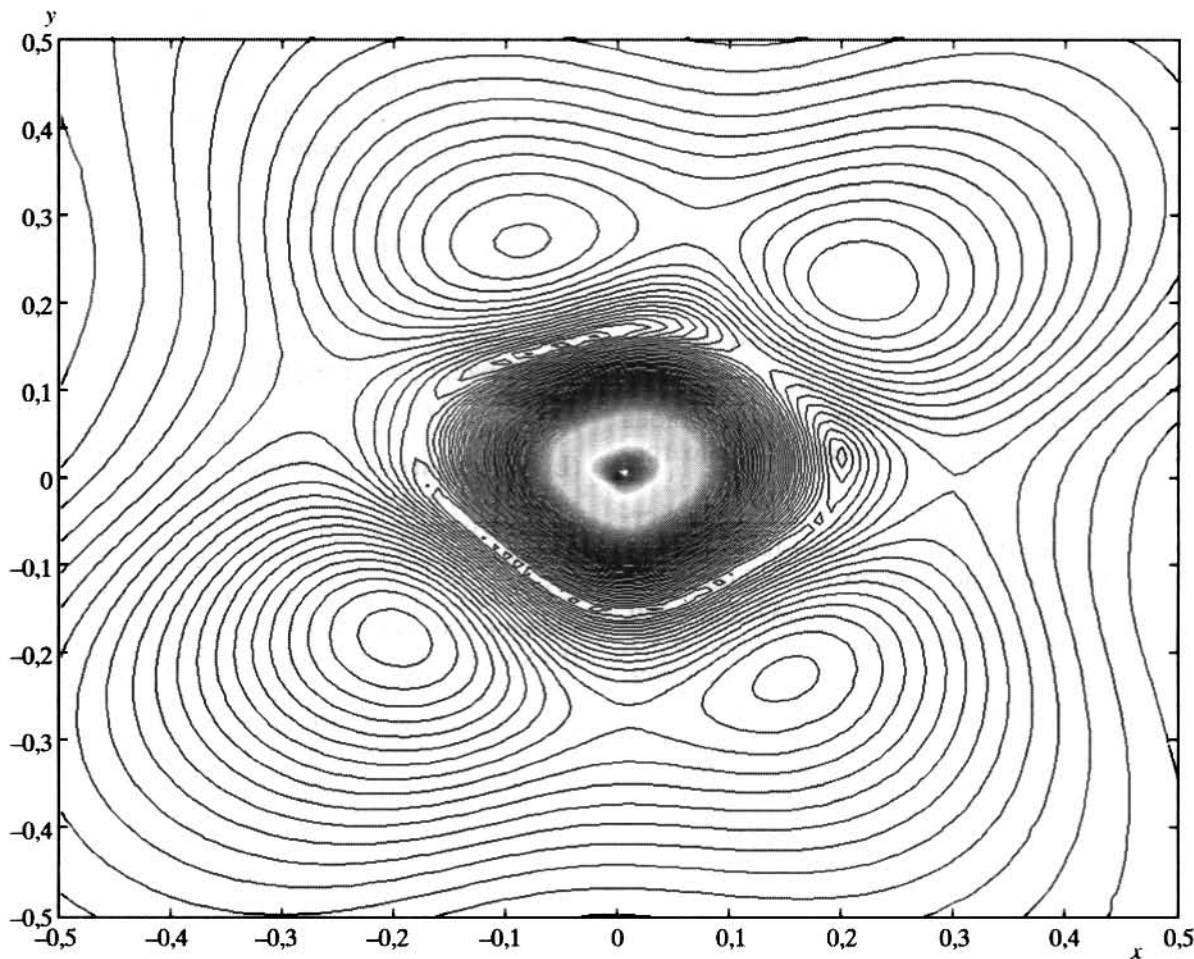
Слой 1 (нумерация сверху вниз) имеет свойства ниобата лития ( $\text{LiNbO}_3$ , тригональная сингония, класс  $3m$ ): упругие модули  $C_{11} = 2,03$ ,  $C_{13} = 0,53$ ,  $C_{14} = 0,75$ ,  $C_{33} = 0,09$ ,  $C_{44} = 2,45$ ,  $C_{66} = 0,6$ , ( $10^{11}$  Н/м $^2$ ), пьезоэлектрические модули  $e_{15} = 3,7$ ,  $e_{22} = -2,5$ ,  $e_{31} = 0,2$ ,  $e_{33} = 1,3$  (1 Кл/м $^2$ ), диэлектрические проницаемости  $\epsilon_{11} = 38,9$ ,  $\epsilon_{22} = 25,7$ ,

( $10^{-12}$  Ф/м), плотность кристалла  $\rho = 0,47$ , ( $10^4$  кг/м $^3$ ), удельная теплоемкость  $C_\varepsilon = 8,092$ , ( $10^{-4}$  Дж/(кг · К)) [14], коэффициенты теплопроводности  $v_{nn} = v = 4,6$  (Вт/(м · К)), температурные коэффициенты механических напряжений  $\chi_{nn} = \chi = 2$  (Н/(м $^2$  · К)), пироэлектрические коэффициенты  $p_n = p = 2$  (10 $^{-4}$  Кл/(м $^2$  · К)), ( $n = 1, 2, 3$ ). Слой 2 имеет свойства окиси цинка ( $\text{ZnO}$ , гексагональная сингония, класс  $6mm$ ):  $C_{11} = 2,097$ ,  $C_{12} = 1,211$ ,  $C_{13} = 1,051$ ,  $C_{33} = 2,109$ ,  $C_{44} = 0,4245$ ,  $e_{15} = 0,59$ ,  $e_{31} = -0,61$ ,  $e_{33} = 1,14$ ,  $\epsilon_{11} = 81,99$ ,  $\epsilon_{33} = 97,39$ ,  $\rho = 0,5642$ ,  $C_\varepsilon = 3,238$  [14],  $v_{nn} = v = 17,14$ ,  $\chi_{nn} = \chi = 5,85$ ,  $p_n = p = 1$ .

Слой 3 имеет свойства танталата лития ( $\text{LiTaO}_3$ , тригональная сингония, класс  $3m$ ):  $C_{11} = 2,33$ ,  $C_{12} = 0,47$ ,  $C_{13} = 0,8$ ,  $C_{14} = -0,11$ ,  $C_{33} = 2,75$ ,  $C_{44} = 0,94$ ,  $e_{15} = 2,6$ ,  $e_{22} = 1,6$ ,  $e_{31} = 0$ ,  $e_{33} = 1,9$ ;  $\epsilon_{11} = 50$ ,  $\epsilon_{22} = 33$ ,  $\rho = 0,73$ ,  $C_\varepsilon = 1,41$  [14],  $v_{nn} = v = 1,673$ ,  $\chi_{nn} = \chi = 1,6$ ,  $p_n = p = 2$ . Ориентации кристаллов соответствуют стандартным установкам. В качестве характерных величин были использованы следующие значения:  $l_0 = 10^{-3}$  м,  $t_0 = 10^{-6}$  с,  $m_0 = 10^4$  кг,  $\phi_0 = 10^8$  В,  $\theta_0 = 10^7$  К,  $T_0 = 300$  К.



**Рис. 1.** Амплитуды вертикальных перемещений, создаваемых единичным механическим источником при  $\omega = 7$ ,  $z_2 = -0,1$  в виде поверхности



**Рис. 2.** Амплитуды вертикальных перемещений, создаваемых единичным механическим источником при  $\omega = 7$ ,  $z_2 = -0,1$  в виде линий уровня

Толщина  $h$  всех слоев одинакова:  $h = 0,1 \cdot l_0$ . Из-за отсутствия полных справочных данных тензорам  $v$ ,  $\chi$ ,  $p$  были приданы модельные, физически допустимые значения.

В качестве примера расчетов на рис. 1 и 2 в виде поверхности и линий уровней соответственно изображены амплитуды вертикальных перемещений  $|u_3^{(1)}(x, y, z_2)|$ , создаваемые механическим источником  $f_3^{(2)} = 1$  при  $\omega = 7$ ,  $z_2 = -0,1$  (нормированные значения). В ближней от источника зоне вклад комплексных полюсов значительно больше вклада действительных полюсов, вклад вещественных полюсов преобладает в дальней зоне.

Работа выполнена при поддержке грантов РФФИ (05-01-00902), программа “Юг России”, проекты 06-01-96802, 06-01-96803, 06-01-96804, 06-01-96805, 06-05-96806, проект НШ-4839.2006.1, программ отделения ЭММПУ и Президиума РАН, выполняемых Южным научным центром РАН.

#### СПИСОК ЛИТЕРАТУРЫ

1. Fares N., Li V.C. General image method in a plane-layered elastostatic medium // ASME J. Appl. Mech. 1998. № 55. P. 781–785
2. Shou K.J. A superposition scheme to obtain fundamental boundary element solution in multi-layered elastic media // Int. J. Numer. Analyt. Methods Geomech. 2000. N 24. P. 795–814.
3. Ting T.C.T. Anisotropic elasticity. Oxford: Oxford University Press, 1996. 356 p.
4. Wu K.C. Generalization of the Stroch formalism to three-dimensional anisotropic elasticity // J. Elasticity. 1988. N 51. P. 213–225.
5. Pan E., Yuan F.G. Three-dimensional Green's function in anisotropic bimaterials // Int. J. Solids Struct. 2000. N 37. P. 5329–5351.
6. Barnett D.M., Lothe J. Line force loading on anisotropic half-spaces and wedges // Physica Norvegica. 1975. N 8. P. 13–22.
7. Ting T.C.T., Lee V.G. The three-dimensional elastostatic Green's function for general anisotropic linear elastic solids // Quart J. Mech. Appl. Math. 1997. N 50. P. 407–426.

8. Tonon F., Pan E., Amadei B. Green's function and boundary element formulation for 3D anisotropic media // Computers Struct. 2001. N 79. P. 469–482.
9. Yang B., Pan E. Three-dimensional Green's function in anisotropic trimaterials // Int. J. Solids. Struct. 2002. N 28. P. 5011–5027.
10. Yang B., Pan E. Efficient evaluation of three-dimensional Green's function in anisotropic elastostatic multilayered composites // Engineering with Boundary Elements. (2002). N 26. P. 355–366.
11. Бабешко В.А., Глушков Е.В., Зинченко Ж.Ф. Динамика неоднородных линейно-упругих сред. М.: Наука, 1989. 344 с.
12. Ворович И.И., Бабешко В.А., Пряхина О.Д. Динамика массивных тел и резонансные явления в деформируемых средах. М.: Научный мир, 1999.
13. Бабешко В.А., Сыромятников П.В. Метод построения символа Фурье матрицы Грина многослойного электроупругого полупространства // Изв. РАН. МТТ. 2002. № 5. С. 35–47.
14. Акустические кристаллы: Справочник / Под ред. М.П. Шаскольской. М.: Наука, 1982. 632 с.

## ABOUT COMBINED BOUNDARY-VALUE PROBLEMS IN ANISOTROPIC MULTILAYERED COMPOSITES

**Academician V.A. Babeshko, S.V. Ratner, P.V. Syromyatnikov**

The numerical-analytical method of Green's function construction in the thermoelectroelastic problem for multilayered composite with plane cracks and/or rigid inclusions on the interfaces is described. Each layer can have arbitrary thermoelectroelastic anisotropy and pyroelectric proprieties. A novel approach for numerical evaluation of Green's function in physical domain is described with taking surface load or loads on inhomogeneities borders into consideration.

## REFERENCES

1. Fares N., Li V.C. 1998. General image method in a plane-layered elastostatic medium. *ASME J. Appl. Mech.* 55: 781–785.
2. Shou K.J. 2000. A superposition scheme to obtain fundamental boundary element solution in multi-layered elastic media. *Int. J. Numer. Analyt. Methods Geomech.* 24: 795–814.
3. Ting T.C.T. 1996. *Anisotropic elasticity*. Oxford, Oxford University Press: 356 p.
4. Wu K.C. 1988. Generalization of the Stroch formalism to three-dimensional anisotropic elasticity. *J. Elasticity*. 51: 213–225.
5. Pan E., Yuan F.G. 2000. Three-dimensional Green's function in anisotropic bimaterials. *Int. J. Solids Struct.* 37: 5329–5351.
6. Barnett D.M., Lothe J. 1975. Line force loading on anisotropic half-spaces and wedges. *Physica Norvegica*. 8:13–22.
7. Ting T.C.T., Lee V.G. 1997. The three-dimensional elastostatic Green's function for general anisotropic linear elastic solids. *Quart J. Mech. Appl. Math.* 50: 407–426.
8. Tonon F., Pan E., Amadei B. 2001. Green's function and boundary element formulation for 3D anisotropic media. *Computers Struct.* 79: 469–482.
9. Yang B., Pan E. 2002. Three-dimensional Green's function in anisotropic trimaterials. *Int. J. Solids. Struct.* 28: 5011–5027.
10. Yang B., Pan E. 2002. Efficient evaluation of three-dimensional Green's function in anisotropic elastostatic multilayered composites. *Engineering with Boundary Elements*. 26: 355–366.
11. Babeshko V.A., Glushkov E.V., Zinchenko J.F. 1989. *Dinamika neodnorodnykh lineyno-uprugikh sred*. [Dynamics of Inhomogeneous Linearly Elastic Media]. Moscow, Nauka: 344 p. (In Russian).
12. Vorovich I.I., Babeshko V.A., Pryakhina O.D. 1999. *Dinamika massivnykh tel i rezonansnye yavleniya v deformiruemnykh sredakh*. [Dynamics of Massive Bodies and Resonance Phenomena in Deformable Media]. Moscow, Nauchnyy Mir: 246 p.
13. Babeshko V.A., Syromyatnikov P.V. 2002. A Method for the Construction of the Fourier Symbol of the Green Matrix for Multi-Layered Electroelastic Half-Space. *Mechanics of Solids. A Journal of Russian Academy of Sciences*. 37(5): 27–37.
14. Shaskol'skaya M.P. (Ed.). 1982. *Akusticheskie kristally: spravochnik*. [Acoustic crystals: Hand-book]. Moscow, Nauka Publ.: 632 p. (In Russian).